

# Методика проектирования распределенных самонастраивающихся систем управления

И. М. Першин<sup>1,3</sup>, В. А. Носова<sup>2</sup>, В. В. Цаплева<sup>3</sup>

<sup>1</sup> Санкт-Петербургский государственный электротехнический университет «ЛЭТИ» им. В.И. Ульянова (Ленина)

<sup>2</sup> Санкт-Петербургский горный университет

<sup>3</sup> Пятигорский институт (филиал) Северо-Кавказского федерального университета  
E-mail: ivmp@yandex.ru

**Аннотация.** В статье рассматривается методика синтеза адаптивных распределенных систем управления. По характеру изменений в управляющем устройстве, рассматриваемые в статье системы относятся к классу самонастраивающихся (осуществляется параметрическая адаптация – коэффициенты распределенных регуляторов подстраиваются под изменение окружающей среды). Разработана структура и исследованы характеристики модифицированного распределенного регулятора, используемого в адаптивных системах. Эффективность методики синтеза адаптивных распределенных систем подтверждена результатами моделирования.

**Ключевые слова:** распределенные адаптивные системы; самонастраивающиеся распределенные регуляторы; методика синтеза распределенных адаптивных систем; модифицированные распределенные регуляторы

## I. ВВЕДЕНИЕ

Процессы, протекающие в окружающей нас среде, неразрывно связаны с пространственными координатами. Системный анализ таких (распределенных) процессов активно развивается с семидесятых годов прошлого века. Математические модели рассматриваемых процессов описываются уравнениями в частных производных. Решение задач анализа и синтеза систем управления различными (распределенными) технологическими процессами рассмотрено во множестве статей ([1, 2] и др.). В большинстве статей, по рассматриваемому направлению, решаются задачи управления линейными распределенными объектами. В практике, параметры математических моделей распределенных объектов (например, коэффициенты теплопроводности и теплопроводности воздуха зависят от фазовых переменных).

## II. ИССЛЕДОВАНИЕ ОБЪЕКТА УПРАВЛЕНИЯ

В качестве примера рассмотрим математическую модель теплового процесса в нагревательной камере, приведенной на рис. 1.

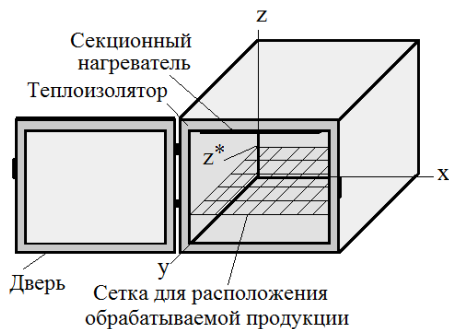


Рис. 1. Нагревательная камера

$$\frac{\partial T(x,y,z,\tau)}{\partial \tau} = a \cdot \left( \frac{\partial^2 T(x,y,z,\tau)}{\partial x^2} + \frac{\partial^2 T(x,y,z,\tau)}{\partial y^2} + \frac{\partial^2 T(x,y,z,\tau)}{\partial z^2} \right),$$

$$0 < x < X_L, \quad 0 < y < Y_L, \quad 0 < z < Z_L.$$

Граничные и начальные условия:

$$\begin{aligned} \partial T(0, y, z, \tau) / \partial x = \partial T(x, 0, z, \tau) / \partial y = T(X_L, y, z, \tau) = \\ = \partial T(x, y, 0, \tau) / \partial z = T(x, y, Z_L, \tau) / \partial z = 0, \\ \lambda \cdot \partial T(x, y, Z_L, \tau) / \partial z = U(x, y, \tau), \quad T(x, Y_L, z, \tau) = 0, \\ T(x, y, z, 0) = 0, \quad 0 < x < X_L, \quad 0 < y < Y_L, \quad 0 < z < Z_L. \end{aligned} \quad (1)$$

где:  $T(x, y, z, \tau)$  – фазовая переменная;  $x, y, z$  – пространственные координаты;  $a$  – коэффициент теплопроводности;  $X_L, Y_L, Z_L$  – заданные значения (внутренние размеры камеры);  $\lambda$  – коэффициент теплопроводности,  $\tau$  – время;  $U(x, y, \tau)$  – входное воздействие (тепловой поток секционного нагревателя);  $T(x, y, z^*, \tau)$  – функция выхода ( $z^*$  – заданное значение ( $0 < z^* < Z_L$ )).

В табл. 1 приведены соответствующие значения изменения параметров рассматриваемого процесса, при изменении температуры [3].

ТАБЛИЦА I. ИЗМЕНЕНИЕ ПАРАМЕТРОВ РАССМАТРИВАЕМОГО ПРОЦЕССА

T, °C	200	400	600	800
i	1	2	3	4
$a_i, \text{ м}^2/\text{с}$	0,0000514	0,000093	0,0001383	0,0001888
$\text{Вт}/(\text{м}^2 \cdot \text{град})$	0,0393	0,0521	0,0622	0,071

### Аппроксимация параметров модели объекта

В рассматриваемом случае аппроксимацию параметров объекта будем осуществлять с помощью линейных функций. В результате вычислений получены следующие аппроксимирующие функции:

$$a=0.00000023 \cdot T + 0.0000056, \quad \lambda=0.00005283 \cdot T + 0.028733,$$

где  $T$  – фазовая переменная (температура в 0 С).

Геометрические размеры камеры заданы в виде:  $X_L=1.5$  м.;  $Y_L=1$  м.;  $Z_L=0.5$  м.;  $z^*=0.2$  м. Датчика измерения температуры располагаются внутри камеры на плоскости  $\{x, y, z=0.35\text{ м.}\}$

В соответствии с граничными условиями объекта (1), пространственные моды входного воздействия [4, 5] могут быть сформированы в виде:

$$U(x, y, \tau) = \sum_{\eta, \gamma=1}^{\infty} A_{\eta, \gamma}(\tau) \cdot \cos(\psi_{\eta} \cdot x) \cdot \cos(\tilde{\psi}_{\gamma} \cdot y), 0 < x < X_L, 0 < y < Y_L,$$

$$\psi_{\eta} = \pi \cdot \eta / X_L, \tilde{\psi}_{\gamma} = \pi \cdot (\gamma - 0.5) / Y_L, G_{\eta, \gamma} = \psi_{\eta}^2 + \tilde{\psi}_{\gamma}^2.$$

Выберем две пространственные моды, для которых определим значения обобщенных координат:

$$G_{1,1} = (\pi \cdot 1 / 1.5)^2 + (\pi \cdot (1 - 0.5) / 1)^2 = 6.8539; \quad G_{2,2} = (\pi \cdot 2 / 1.5)^2 + (\pi \cdot (2 - 0.5) / 1)^2 = 39.7525.$$

Методика определения параметров аппроксимирующих звеньев распадается на следующие этапы [6–8]:

1. Определение статических и динамических характеристик объекта, для различных значений параметров процесса (табл. 1). Линейная аппроксимация рассматриваемых характеристик объекта записывается в виде:  
 $a = 0.00000023 \cdot T + 0.0000056;$   
 $\lambda = 0.00005283 \cdot T + 0.028733.$

Была составлена дискретная модель рассматриваемого объекта, при этом шаг дискретизации по пространственным координатам выбраны в виде:  $\Delta x = X_L / 15; \Delta y = Y_L / 10; \Delta z = Z_L / 10.$  Полагая:  $T = 200,$  по результатам моделирования построены графики изменения коэффициента усиления по выбранным пространственным модам, для заданной точки камеры ( $x = 3 \cdot \Delta x, y = 3 \cdot \Delta y, z = 6 \cdot \Delta z,$  приведенные на рис. 2, рис. 3, и графики реакции объекта (для выбранной пространственной точки) на гармоническое входное воздействие:

$$U(x, y, \tau) = 40 \cdot \sin(\psi_1 \cdot x) \cdot \sin(\tilde{\psi}_1 \cdot y) \cdot (1 + 0.3 \cdot \sin(\omega \cdot \tau)),$$

$$\omega = 0.001 \text{ 1/сек.}$$

(рис. 4).

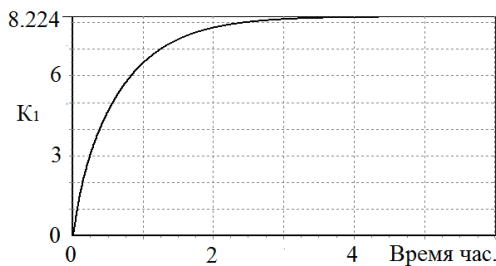


Рис. 2. График изменения K1 для G11

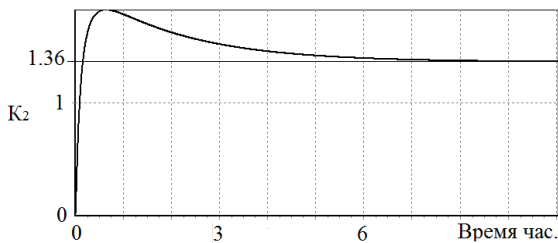


Рис. 3. График изменения K2 для G2,2

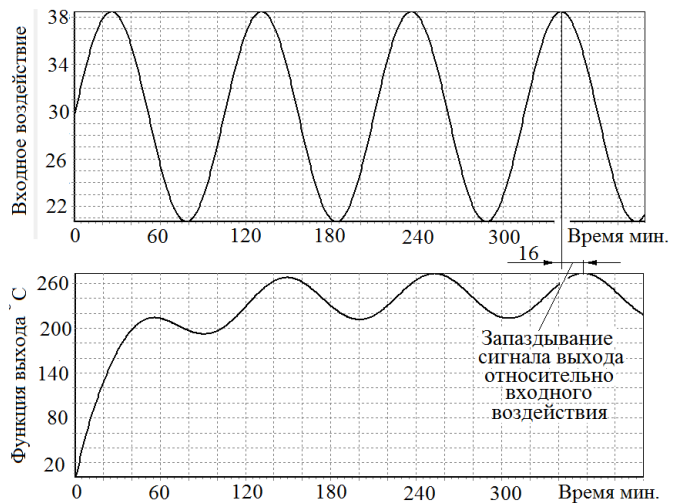


Рис. 4. Графики переходных процессов для G11

Значение сдвига по фазе функции выхода относительно входного воздействия:  $\Delta \phi_{11} = -2\pi \cdot 16 / 104.7 = -0.960.$

(Графики, приведенные на рис. 2, рис. 3 и рис. 4 могут быть получены с использованием экспериментальных исследований на объекте управления.)

2. Определение параметров аппроксимирующего звена.

В рассматриваемом случае будем использовать звено вида [4]:

$$W_{a, \eta, \gamma}(s) = \frac{K}{\beta_{\eta, \gamma}} \cdot \exp(-\beta_{\eta, \gamma} \cdot \Delta D); \quad \beta_{\eta, \gamma}$$

$$= \left( \frac{s}{a} + G_{\eta, \gamma} \right)^{1/2}, \quad \eta, \gamma = 1 \dots \infty. \quad (2)$$

Методика определения параметров рассматриваемого звена [4] и распадается на следующие этапы:

1. Определим значения K и  $\Delta D$  для рассматриваемого аппроксимирующего звена. Приравняв статический коэффициент усиления звена (2) к статическим коэффициентам усиления по выбранным пространственным модам, получим:

$$\begin{cases} K_1 = \frac{K}{\beta_{1,1}} \cdot \exp(-\beta_{1,1} \cdot \Delta D), & \beta_{1,1} = (G_{1,1})^{0.5} \\ K_2 = \frac{K}{\beta_{2,2}} \cdot \exp(-\beta_{2,2} \cdot \Delta D), & \beta_{2,2} = (G_{2,2})^{0.5}, \end{cases}$$

Подставляя значения K1, K2, G1,1, G2,2 в полученную систему и решая, приходим к следующему результату:  $K = 41.397, \Delta D = 0.2497.$

2. Полагая в (2)  $s = j\omega$  ( $\omega = 0.001$  1/сек.), запишем соотношение для определения фазы звена (2):

$$\varphi = -\Delta D \cdot \text{Im}(\beta_{1,1,i}) - \arctan(\omega / (a \cdot (G_{1,1}))).$$

Вычислим значение параметра a, для которого выполняется условие  $\varphi = \Delta \phi_{1,1}.$  По результатам вычислений получено:  $a = 0.0000881.$

3. Передаточная функция аппроксимирующего звена ( $W_{a,i}$ ), записанная с использованием обобщенной координаты [3, 4] (при  $T=200$  °C.), имеет вид:

$$W_{a,i}(G,s) = \frac{41.396}{\beta_1(G,s)} \cdot \exp(-\beta_1(G,s) \cdot 0.2497); \quad (3)$$

$$\beta_1(G,s) = \left( \frac{s}{0.0000881} + G \right)^{1/2}, G_{1,1} \leq G \leq \infty.$$

*Общие замечания к синтезу распределенных регуляторов*

В практике большое распространение получили распределенные регуляторы, реализующие пропорционально-интегрально-дифференциальный (ПИД) закон управления [1, 2]. Рассмотрим структуры двух видов распределенных регуляторов, реализующих ПИД закон управления:

$$R(x,y,s) = E_1 \cdot \left[ \frac{n_1-1}{n_1} - \frac{1}{n_1} \cdot \nabla^2 \right] + E_2 \cdot \left[ \frac{n_2-1}{n_2} - \frac{1}{n_2} \cdot \nabla^2 \right] s + E_4 \cdot \left[ \frac{n_4-1}{n_4} - \frac{1}{n_4} \cdot \nabla^2 \right],$$

*модифицированный распределенный регулятор*

$$R_m(x,y,s) = E_1 \cdot \left[ \frac{n_1-1}{n_1} - \frac{1}{n_1} \cdot \nabla^2 \right] \cdot \left[ 1 + E_2 \cdot \left[ \frac{n_2-1}{n_2} - \frac{1}{n_2} \cdot \nabla^2 \right] \cdot s + E_4 \cdot \left[ \frac{n_4-1}{n_4} - \frac{1}{n_4} \cdot \nabla^2 \right] \right], \quad (4)$$

где:  $E_i, n_i$  ( $i=1,2,4$ ) – параметры, значения которых определяются с использованием процедуры синтеза.

Записывая передаточные функции регуляторов (4) с использованием обобщенной координаты  $G$  [1], получим:

Распределенный регулятор, реализующий ПИД закон управления

$$R(G,s) = E_1 \cdot \left[ \frac{n_1-1}{n_1} + \frac{1}{n_1} \cdot G \right] + E_2 \cdot \left[ \frac{n_2-1}{n_2} + \frac{1}{n_2} \cdot G \right] \cdot s + E_4 \cdot \left[ \frac{n_4-1}{n_4} + \frac{1}{n_4} \cdot G \right] / s.$$

*Модифицированный распределенный регулятор*

$$R_m(G,s) = E_1 \cdot \left[ \frac{n_1-1}{n_1} + \frac{1}{n_1} \cdot G \right] \cdot \left[ 1 + E_2 \cdot \left[ \frac{n_2-1}{n_2} + \frac{1}{n_2} \cdot G \right] \cdot s + E_4 \cdot \left[ \frac{n_4-1}{n_4} + \frac{1}{n_4} \cdot G \right] / s \right]$$

На рис. 5 приведены амплитудные характеристики рассматриваемых регуляторов.

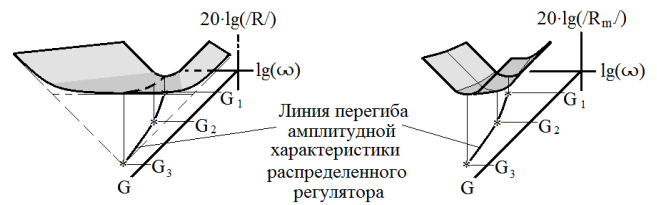


Рис. 5. Амплитудные характеристики регуляторов

На рис. 5 показано, что амплитудные частотные характеристики  $R(G,s)$ , при увеличении  $G$  «расходятся», что приводит к изменению динамических характеристик по пространственным модам. Амплитудные частотные характеристики  $R_m(G,s)$  при увеличении  $G$  «остаются постоянными» (изменяется только коэффициент усиления пространственно-усилительного звена). На рис. 5 показана линия перегиба распределенных регуляторов. Для  $\omega$  принадлежащих линии перегиба, фазовый сдвиг рассматриваемых распределенных регуляторов будет равен нулю.

*Синтез модифицированного распределенного регулятора*

Методику синтеза рассмотрим на примере синтеза распределенного регулятора для системы управлением объекта (3).

Постановка задачи: для системы управления объектом, передаточная функция которого задана в виде (3), синтезировать модифицированный распределенный регулятор (4), при этом на запасы устойчивости разомкнутой системы ( $\Delta\varphi(G)$ ) и на параметр  $\Delta$  наложены ограничения:  $\Delta\varphi(G) \geq \pi/5$ ;  $\Delta = \lg(5)$ .

Методика синтеза распадается на следующие этапы:

1. Определение параметров пространственно-усилительного звена.

1.1. Подставляя  $s=j\omega$  в (запишем фазовую характеристику объекта управления

$$-\pi + \Delta\varphi = -\arctg(\text{Im}(W_{a,1}(G, j\omega)) / \text{Re}(W_{a,1}(G, j\omega)))$$

Полагая:  $\Delta\varphi = \pi/4$ , для  $G=G_{1,1}$ ,  $G=G_{2,2}$  определим желаемые точки среза модуля разомкнутой системы  $\omega = \omega_{1,1}$ ,  $\omega = \omega_{2,2}$  и модули объекта управления для вычисленных частот:

$$M(G_{i,1}, j\omega_{i,1}) = ((\text{Im}(W_{a,1}(G_{i,1}, j\omega_{i,1})))^2 + (\text{Re}(W_{a,1}(G_{i,1}, j\omega_{i,1})))^2)^{0.5} \quad i = 1, 2.$$

Вычислим коэффициенты усиления регулятора в рассматриваемых точках:

$$\bar{M}_{1,1} = (M(G_{1,1}, j\omega_{1,1}))^{-1}, \quad \bar{M}_{2,2} = (M(G_{2,2}, j\omega_{2,2}))^{-1}.$$

Решая приведенную ниже систему, определим параметры пространственно-усилительного звена ( $n_1, E_1$ )

(при этом на значение  $n_1$  накладывается ограничение  $n_1 \geq 1$  [1]):

$$\begin{cases} \bar{M}_{1,1} = E_1 \left[ \frac{n_1 - 1}{n_1} + \frac{G_{1,1}}{n_1} \right], \\ \bar{M}_{2,2} = E_1 \left[ \frac{n_1 - 1}{n_1} + \frac{G_{2,2}}{n_1} \right] \end{cases}$$

2. Определение параметров динамических звеньев модифицированного регулятора (4):

$$W_d(G, s) = \begin{bmatrix} 1 + E_2 \cdot \left[ \frac{n_2 - 1}{n_2} + \frac{1}{n_2} \cdot G \right] \cdot s + \\ E_4 \cdot \left[ \frac{n_4 - 1}{n_4} + \frac{1}{n_4} \cdot G \right] \cdot 1/s \end{bmatrix}. \quad (5)$$

Полагая  $s=j\omega$ , определим амплитудную ( $M$ ) и фазовую ( $\varphi$ ) частотные характеристики звена (5):

$$M(G, \omega) = \left[ \left( \frac{K_2(G) \cdot \omega^2 - K_4(G)}{\omega} \right)^2 + 1 \right]^{1/2},$$

$$\varphi(G, \omega) = \arctg \left( \frac{K_2(G) \cdot \omega^2 - K_4(G)}{\omega} \right), \quad (6)$$

$$K_j(G) = E_j \left[ \frac{n_j - 1}{n_j} + \frac{1}{n_j} G \right], \quad (j = 2, 4).$$

Минимальное значение модуля, равное единице, будет при

$$K_2(G) \cdot \omega^2 - K_4(G) = 0. \quad (7)$$

Преобразуем (7), получим:

$$\lg(\omega^2) = \lg(K_4(G)) - \lg(K_2(G)),$$

Подставляя  $\omega_{1,1}, \omega_{2,2}, G_{1,1}, G_{2,2}$  и преобразуя, получим:

$$\begin{cases} \lg(\omega_{1,1}^2) = \lg \left( E_4 \cdot \left[ \frac{n_4 - 1}{n_4} + \frac{1}{n_4} G_{1,1} \right] \right) - \\ \lg \left( E_2 \cdot \left[ \frac{n_2 - 1}{n_2} + \frac{1}{n_2} G_{1,1} \right] \right) \\ \lg(\omega_{2,2}^2) = \lg \left( E_4 \cdot \left[ \frac{n_4 - 1}{n_4} + \frac{1}{n_4} G_{2,2} \right] \right) - \\ \lg \left( E_2 \cdot \left[ \frac{n_2 - 1}{n_2} + \frac{1}{n_2} G_{2,2} \right] \right) \end{cases}.$$

На изменение значений  $n_4, n_2$  наложены [3, 4] ограничения:  $n_4 \geq 1, n_2 \geq 1$ .

Взаимосвязь параметров рассматриваемых звеньев с параметром  $\Delta$  приведена в [2]:

$$\lg((\omega_{1,1})^2) = \lg(1 / (E_2 \cdot \left[ \frac{n_2 - 1}{n_2} + \frac{1}{n_2} G_{1,1} \right])) - \lg((10^{\Delta})^2), \quad (8)$$

$$\lg(\omega_{2,2}^2) = \lg \left( E_4 \cdot \left[ \frac{n_4 - 1}{n_4} + \frac{1}{n_4} G_{1,1} \right] \right) + \lg((10^{\Delta})^2).$$

Подставляя исходные данные:  $K=41.397$ ;  $G_{1,1}=6.8539$ ;  $G_{2,2}=39.7525$ ;  $D=0.2497$ ;  $a=0.0000881$

$\Delta = \lg(5)$  в методику синтеза, получим:

$E_1 = 1.463896, n_1 = 24.35775, n_2 = \infty, E_2 = 88.8028, n_4 = 35.8225, E_4 = 0.001644$ .

По результатам моделирования построен график переходного процесса, приведенный на рис. 6.

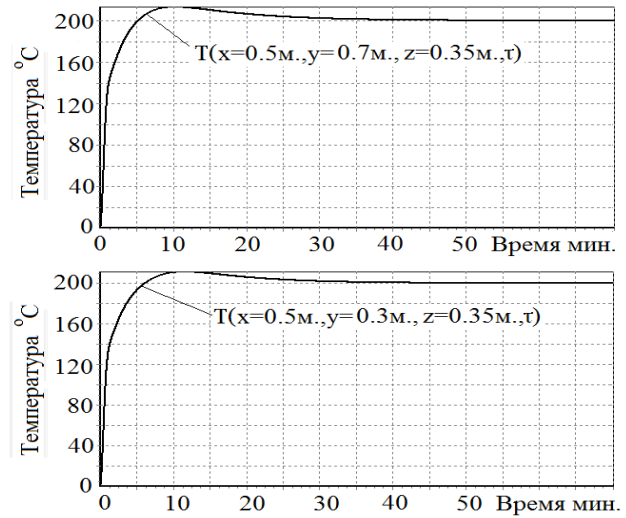


Рис. 6. Графики переходного процесса

Используя линейную аппроксимацию физических параметров объекта ( $a=0.00000023 \cdot T + 0.0000056$ ;  $\lambda=0.00005283 \cdot T + 0.028733$ ) и методику, приведенную выше, были получены значения параметров аппроксимирующей модели для различных температур (табл. 2).

ТАБЛИЦА II. ИЗМЕНЕНИЕ ПАРАМЕТРОВ РАССМАТРИВАЕМОГО ПРОЦЕССА

T, °C	200	400	600	800
i	1	2	3	4
$a_i, \text{ м}^2/\text{с}$	0,0000514	0,000093	0,0001383	0,0001888
$\text{Вт}/(\text{м}^2 \cdot \text{град})$	0,0393	0,0521	0,0622	0,071
Результаты моделирования				
$K_{1,1,i}$	8,224	6,481	5,348	4,552
$K_{2,2,i}$	1,36	1,072	0,884	0,7525
$\Delta\varphi_{1,1,i}$	-0,960	-0,684	-0,526	-0,483
Параметры аппроксимирующей модели				
$K_i$	41,397	32,617285	26,928	22,91841
$\Delta D_i$	0,2497	0,249641	0,249824	0,24979
$a_i$	0,0000881	0,0001475	0,000207	0,000229
Параметры модифицированных распределенных регуляторов				
$E_1$	1,463896	1,8585	2,2489	2,64288
$n_1$	24,35775	24,375	24,3218	24,3319
$E_2$	88,8028	53,019458	37,827	34,18499
$n_2$	$\infty$	$\infty$	$\infty$	$\infty$
$E_4$	0,001644	0,00275	0,003858	0,004269
$n_4$	35,8225	35,8398	35,787	35,797

Используя полученные параметры аппроксимирующей модели, были синтезированы модифицированные распределенные регуляторы (параметры модифицированных распределенных регуляторов приведены в табл. 2).

Запишем параметры  $E_{1,i}, E_{2,i}, E_{4,i}$  в виде аппроксимирующих функций:

$$E_1(T) = 1.07090133 + 0.00196497 \cdot T; \quad E_4(T) = 0.000769 + 0.000004375 \cdot T;$$

$$E_2(T) = 122.074155 \cdot \exp(-0.001591 \cdot T),$$

(при этом полагаем, что:  $n_{1,i}=24.32$ ;  $n_{2,i}=\infty$ ;  $n_{4,i}=35.81$ ).

Передаточная функция модифицированного адаптивного регулятора, работающего в заданном диапазоне температур ( $200 \leq T \leq 800$  °C), записывается в виде:

$$R_m(x, y, s) = E_1(T) \cdot \left[ \frac{23.32}{24.32} - \frac{1}{24.32} \cdot \nabla^2 \right] \cdot \left[ 1 + E_2(T) \cdot [\nabla^2] \cdot s + E_4(T) \cdot \left[ \frac{34.81}{35.81} - \frac{1}{35.81} \cdot \nabla^2 \right] \right].$$

*Моделирование работы замкнутой системы управления*

Математическая модель объекта управления, с учетом аппроксимации параметров, может быть представлена в виде:

$$\frac{\partial T(x, y, z, \tau)}{\partial \tau} = a(T) \cdot \left( \frac{\partial^2 T(x, y, z, \tau)}{\partial x^2} + \frac{\partial^2 T(x, y, z, \tau)}{\partial y^2} + \frac{\partial^2 T(x, y, z, \tau)}{\partial z^2} \right),$$

$$a = 0.00000023 \cdot T(x^*, y^*, z^*, \tau) + 0.0000056,$$

$$0 < x < X_L, 0 < y < Y_L, 0 < z < Z_L,$$

Граничные и начальные условия:

$$T(0, y, z, \tau) = T(x, 0, z, \tau) = T(X_L, y, z, \tau) = T(x, Y_L, z, \tau) = 0,$$

$$\lambda \cdot \frac{\partial T(x, y, Z_L, \tau)}{\partial z} = U(x, y, \tau),$$

$$\lambda = 0.00005283 \cdot T(x^*, y^*, z^*, \tau) + 0.028733,$$

$$\frac{\partial T(x, y, 0, \tau)}{\partial z} = 0, T(x, y, z, 0) = 0.$$

При моделировании, для вычисления параметров аппроксимирующих функций объекта ( $a(T)$ ,  $\lambda(T)$ ) и параметров регулятора, используют измерения температуры в выбранной точке, например  $T = T(x^*, y^*, z^*, \tau)$  ( $x^*, y^*, z^*$ -заданные значения). В рассматриваемом случае  $x^* = 0.5$  м.,  $y^* = 0.3$  м.,  $z^* = 0.35$  м.,  $a = 0.00000023 \cdot T + 0.0000056$ ,  $\lambda = 0.00005283 \cdot T + 0.028733$ .

Структурная схема системы управления приведена на рис. 7.

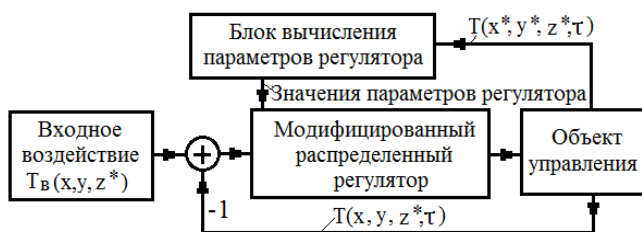


Рис. 7. Структурная схема адаптивной распределенной системы управления

По результатам моделирования замкнутой системы управления построены графики переходных процессов (при входном воздействии  $T_B(x, y, z^*) = 700$  °C), приведенные на рис. 8.

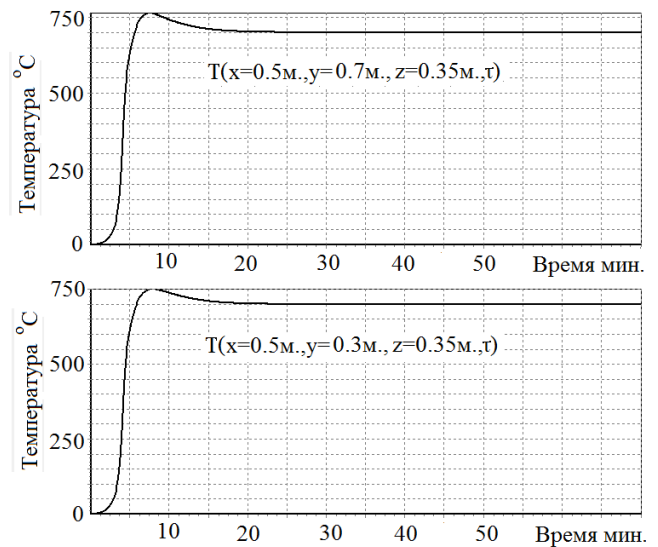


Рис. 8. Графики переходных процессов

### III. ЗАКЛЮЧЕНИЕ

Как показывают графики рис.8, синтезированный регулятор достаточно эффективно управляет рассматриваемым процессом, при изменении фазовой переменной в большом диапазоне температур. Используя приведенную выше методику, может быть синтезирован распределенный адаптивный регулятор для системы управления процессом, параметры которого изменяются, при изменении фазовой переменной.

### СПИСОК ЛИТЕРАТУРЫ

- [1] Малков А.В., Першин И.М. Системы с распределенными параметрами. Анализ и синтез. М.: Научный мир. 2012. 476 с.
- [2] Першин И.М. Проектирование распределенных систем. Теория и практика. Всероссийская научная конференция "Системный синтез и прикладная синергетика - 2022". 2022. 167 с.
- [3] Богданов С.Н., Бурцев С.И., Иванов О.П., Куприянова А.В. Холодильная техника. Кондиционирование воздуха. Свойства веществ: Справ. / Под ред. С.Н. Богданова. 4-е изд., перераб. и доп. СПб.: СПбГАХИПТ, 1999. 320 с.
- [4] Першин И.М., Веселов Г.Е., Першин М.И. Аппроксимационные модели передаточных функций распределенных объектов // Известия ЮФУ. Технические науки. 2015. № 7 (168). С. 126-138.
- [5] Першин И.М., Веселов Г.Е., Першин М.И. Методы аппроксимации передаточных функций распределенных объектов // Системный синтез и прикладная синергетика: Сборник научных трудов VII Всероссийской научной конференции. 2015. С. 106-111.